



بررسی عملکرد الکتروشیمیایی پل سوختی اکسید جامد در سیستم‌های ترکیبی میکروتورین گاز جهت تعیین فاکتور مصرف سوخت بهینه

سیده زینب سجادی^۱، جاماسب پیرکندي^{۲*}، مهدی جهرمی^۲

۱- کارشناس ارشد، هواشناس، دانشگاه صنعتی مالک اشتر، تهران

۲- استادیار، تبدیل انرژی، دانشگاه صنعتی مالک اشتر، تهران

j.pirkandi@mut.ac.ir, 3159916111

*تهران، صندوق پستی ۱۳۹۵

چکیده

در تحقیق حاضر سه پیکربندی مختلف برای سیستم ترکیبی پل سوختی اکسید جامد و میکروتورین گاز طراحی و مورد بررسی قرار گرفته است. اولین پیکربندی را به شده شامل یک پل سوختی بوده و به عنوان حالت پایه فرض شده است. دو پیکربندی دیگر با دو پل سوختی که به صورت‌های سری و موازی در بالادست تورین قرار گرفته‌اند، لحاظ شده است. هدف از انجام این تحقیق، تحلیل ترمودینامیکی سیستم‌های طراحی شده و دست یابی به فاکتور مصرف سوخت بهینه برای پل‌های سوختی بکار رفته در سیستم‌های ترکیبی می‌باشد. دمای گازهای ورود به تورین، نسبت فشار کمپرسور و تعداد سلول‌های پل سوختی پارامترهای مهمی می‌باشند که در تطییق پل سوختی و تورین گاز نقش مهمی داشته و در این تحقیق به صورت پارامتری مورد بررسی قرار گرفته‌اند. در این راستا، پارامترهای مربوط به فرایندهای الکتروشیمیایی درون پل به صورت توابعی از حالات شیمیایی و ترمودینامیکی آن‌ها در نظر گرفته شده و کد مدل‌سازی آن‌ها با کد مدل‌سازی سیکل میکروتورین گازی ترکیب شده است. نتایج نشان می‌دهد که فاکتور مصرف سوخت بهینه تأثیر مستقیمی بر عملکرد سیستم ترکیبی پل سوختی اکسید جامد و میکروتورین گاز دارد. بررسی‌ها نشان می‌دهد که این ضریب برای سیستم ترکیبی حالت پایه ۰.۸۵ در سیستم ترکیبی با دو پل سوختی سری به ترتیب برای پل اول ۰.۷ و برای پل دوم ۰.۸ و در سیستم ترکیبی با دو پل سوختی موازی ۰.۸۵ (برای هر دو پل سوختی) حاصل می‌گردد. همچنین نتایج نشان می‌دهد که در بین سه حالت تحلیل شده، سیستم ترکیبی با دو پل سوختی سری بیشترین بازده (بیش از ۴۸ درصد) را به خود اختصاص داده و به عنوان پیکربندی کارآمدتر برگزیده می‌گردد.

اطلاعات مقاله

مقاله پژوهشی کامل

دربافت: ۰۲ شهریور ۱۳۹۵

پذیرش: ۱۶ آبان ۱۳۹۵

راهنمایی در سایت: ۲۸ آذر ۱۳۹۵

کلید واژگان:

سیستم ترکیبی

پل سوختی اکسید جامد

میکروتورین گاز

فاکتور مصرف سوخت بهینه

عملکرد سیستم

Electrochemical performance investigation of solid oxide fuel cell in micro-gas turbine hybrid systems to determine optimum fuel utilization factor

Seyedeh Zeinab Sajadi., Jamasb Pirkandi*, Mehdi Jahromi

Department of Aerospace Engineering, Malek-Ashtar University of Technology, Tehran, Iran
* P.O.B. 3159916111 Tehran, Iran, j_pirkandi@dena.kntu.ac.ir

ARTICLE INFORMATION

Original Research Paper

Received 23 August 2016

Accepted 06 November 2016

Available Online 18 December 2016

Keywords:

Hybrid System

Solid Oxide Fuel Cell

Micro-gas Turbine

Fuel Utilization Factor

System Performance

ABSTRACT

The present study was undertaken to design and analyze three different configurations of SOFC (solid oxide fuel cell) and MGT (micro-gas turbine) hybrid system. The first presented configuration is a hybrid system with one fuel cell which is considered as a basic mode. Two other configurations are considered with two fuel cells that are mounted upstream of the turbine in series and parallel forms. The aim of the current study was thermodynamic analysis of designed hybrid systems and achieving the optimum fuel consumption factor for fuel cells that are used in hybrid systems. Therefore, other performance parameters such as turbine inlet temperature, compressor pressure ratio and the number of cells, which play an important role in implementation of SOFC and gas-turbine, were parametrically analyzed and the obtained optimum values were used in analyses. In this regard, the parameters associated with electrochemical processes within cells are considered as a function of their chemical and thermodynamic conditions, and their modeling code combined with the modeling code of micro gas turbine cycle. The results of this study revealed that fuel utilization factor has direct impact on the SOFC/MGT hybrid system performance. Also we demonstrate that the optimal fuel utilization factor for basic mode hybrid system was 0.85, hybrid system with 2 series fuel cells were obtained 0.7 and 0.8 respectively and hybrid system with two parallel fuel cells were calculated to be 0.85(for both fuel cells). Moreover, the SOFC/MGT hybrid system with two series fuel cells account for the highest electrical efficiency (more than 48%) and was selected as the most efficient configuration.

زیست است. از طرف دیگر فرایند تبدیل انرژی نباید برای محیط زیست مضر

و خطرناک باشد. این فرایند باید به گونه‌ای انجام شود که تأثیرات نامطلوبی

مانند گرم شدن کره زمین (اثرات گازهای گلخانه‌ای) و افزایش انتشار

یکی از اهداف اصلی این پژوهش در زمینه انرژی ایجاد فن‌آوری‌های جدید

برای تبدیل انرژی، دستیابی به بازده‌های بالاتر و کاهش اثر محرب بر محیط

Please cite this article using:

S. Z. Sajadi., J. Pirkandi, M. Jahromi, Electrochemical performance investigation of solid oxide fuel cell in micro-gas turbine hybrid systems to determine optimum fuel utilization factor, *Modares Mechanical Engineering*, Vol. 16, No. 12, pp. 300-310 2016 (in Persian)

برای ارجاع به این مقاله از عبارت ذیل استفاده نمایید:

www.SID.ir

توربین 1573 کلوین به بازده قانون اول بالاتر از 64 درصد و بازده اگززئی نزدیک به 66 درصد دست یابد.

همان‌طور که مشاهده می‌شود طی سال‌های گذشته تحقیقات زیادی به منظور بررسی جنبه‌های مختلف این فن آوری منتشر شده است. تحقیقات انجام شده در این زمینه بیشتر بر روی سیکل‌هایی با ساختار ساده و چیدمان مشابه انجام شده است و پیکربندی‌های مختلف این سیستم ترکیبی که از قرار گرفتن چند پبل سوختی در محل‌های گوناگون از سیکل ایجاد می‌شوند؛ کمتر مورد توجه بوده است. از طرف دیگر ضریب مصرف سوخت به عنوان یک پارامتر مهم در این‌گونه سیستم‌های ترکیبی، در بیشتر تحقیقات ثابت فرض شده است. هدف اصلی این تحقیق دست‌یابی به یک ضریب مصرف سوخت پیله برای پبل‌های سوختی، در چند پیکربندی مختلف از این نوع سیستم‌های ترکیبی می‌باشد.

2- معرفی سیستم‌های ترکیبی

در این بخش به معرفی پیکربندی‌های پیشنهادی در کار حاضر پرداخته شده است. از میان پیکربندی‌های معرفی شده سیکل ترکیبی با یک پبل سوختی به عنوان سیکل حالت پایه در نظر گرفته شده و ساختار سایر سیکل‌ها مشابه چیدمان این سیکل و تنها با افزایش تعداد پبل سوختی و تغییر در محل قرارگیری آن‌ها طراحی شده است.

2-1- معرفی پیکربندی سیستم ترکیبی SOFC/MGT با یک پبل-سوختی (حالت پایه)

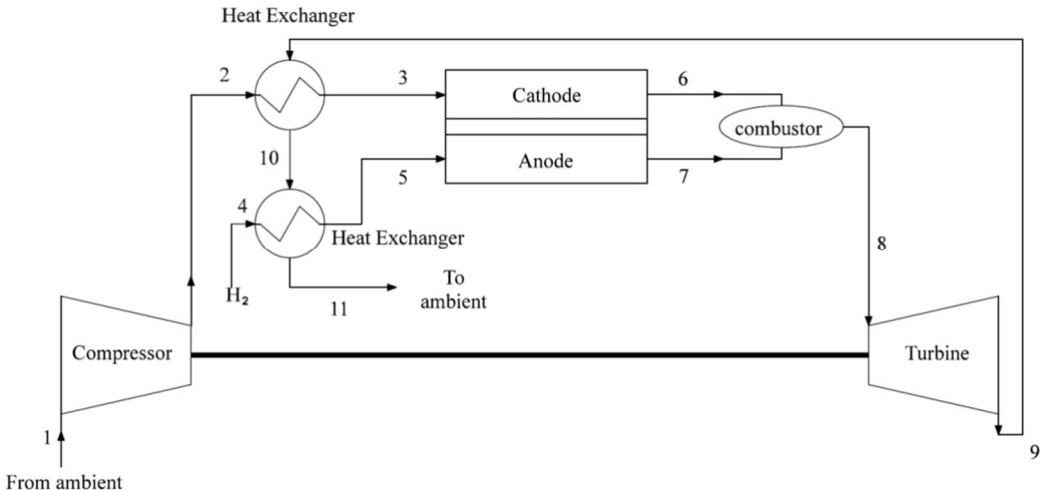
شماییک سیستم پیشنهادی اولیه که در این تحقیق مورد مطالعه قرار گرفته در شکل 1 نشان داده شده است. این سیستم شامل میکروتوربین، کمپرسور هوای پس‌سوز، پبل سوختی اکسید جامد، بازیاب حرارتی هوا و بازیاب حرارتی سوخت می‌باشد. هوای بکار رفته در سیستم ابتدا به وسیله کمپرسور هوا متراکم شده و در ادامه مسیر با عبور از بازیاب هوا و گرم شدن وارد بخش کاتد پبل سوختی می‌شود. از سوی دیگر سوخت هیدروژن نیز با عبور از بازیاب سوخت پیش‌گرم شده وارد بخش آند پبل سوختی می‌گردد. پس از انجام واکنش‌های الکتروشیمیایی در پبل سوختی، هوا و سوخت باقی‌مانده وارد پس‌سوز می‌گردد. پس از انجام واکنش در پس‌سوز، محصولات خروجی از آن در ادامه وارد توربین شده و در اثر انبساط کار مکانیکی تولید می‌کنند. گازهای داغ پس از خروج از توربین در ادامه مسیر خود وارد دو بازیاب حرارتی معرفی شده می‌گردد.

2-2- معرفی پیکربندی سیستم ترکیبی SOFC/MGT با دو پبل سری این پیکربندی با قرار دادن دو پبل سوختی متوالی در چیدمان سیکل حالت پایه طراحی شده است. تمامی اجزای بکار رفته در سیکل و مشخصات آن‌ها مشابه حالت پایه در نظر گرفته شده است و تنها تفاوت آن در تعداد سلول‌های پبل‌های سوختی می‌باشد. بدین صورت که مجموع تعداد سلول‌های دو پبل سوختی حالت سری با تعداد سلول‌های پبل سوختی حالت پایه برابر می‌باشد. با توجه به نقش مؤثر تعداد سلول‌های پبل سوختی در راندمان کلی سیستم، این مقایسه امکان انتخاب سیستم ترکیبی مناسب را فراهم می‌کند. شماییک از سیستم ترکیبی معرفی شده در شکل 2 نشان داده شده است.

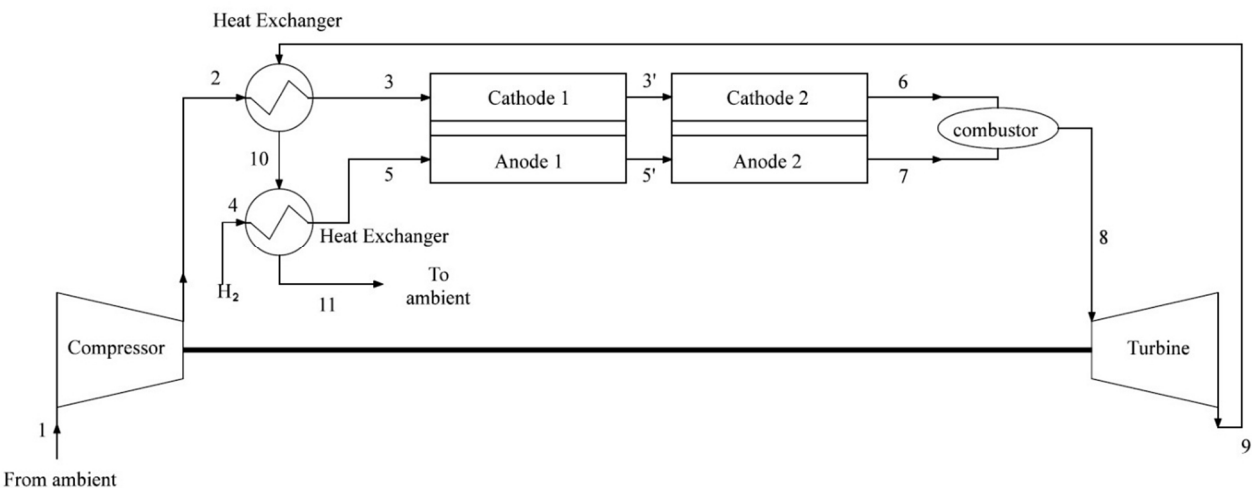
2-3- معرفی پیکربندی سیستم ترکیبی SOFC/MGT با دو پبل موازی

آلاینده‌ها به حداقل مقدار خود برسد [1]. کاهش سوخت‌های فسیلی و آگاهی نسبت به مسائل زیست محیطی، نیاز به توسعه فناوری تولید توان سازگار با محیط زیست و کارآمد را برای جایگزینی با سیستم‌های تولید توان بر پایه احتراق تغیب می‌کند [2]. پبل‌های سوختی به دلیل بازدهی بالا در تبدیل انرژی شیمیایی سوخت‌های فسیلی به انرژی الکتریکی و قابلیت اطمینان بالا یکی از اولویت‌های تولید توان در آینده هستند. از طرف دیگر قابلیت پبل‌های سوختی در ترکیب با دیگر سیکل‌های توان مثل سیکل توربین‌گاز، سبب شده است که سیستم ترکیبی حاصل به عنوان پیشنهادی برای سیستم‌های تولید توان آینده مدنظر باشد [6-3]. در سال‌های اخیر سیستم‌های ترکیبی توربین‌گاز و پبل سوختی اکسید جامد به عنوان یک گزینه مناسب مورد توجه بسیاری از پژوهشگران کشورهای مختلف قرار گرفته است. استفاده از این نوع سیستم‌های ترکیبی یکی از روش‌های افزایش راندمان و کاهش آلاینده‌گی می‌باشد.

در سال‌های اخیر تحقیقات زیادی بر روی سیستم‌های ترکیبی توربین‌گاز و پبل سوختی انجام شده اما در بیشتر تحقیقات سیستم‌های هیبریدی ساده مد نظر بوده و سیستم‌های هیبریدی مشکل از دو پبل سوختی کمتر مورد توجه بوده است. از محدود تحقیقات انجام شده در این زمینه می‌توان به موارد ذیل اشاره کرد. ارکی و همکاران [7] یک سیستم تولید توان شامل دو توده پبل سوختی اکسید جامد دما بالا و دما پایین را مورد بررسی قرار دادند. در این تحلیل مقایسه‌ای میان بازده سیکل‌های پبل سوختی دما بالا، پبل سوختی دما پایین و اتصال سری این دو پبل انجام شد. نتایج آن‌ها بیانگر افزایش بازده پبل‌های سوختی در حالت سری و توربین‌گاز است. موسی و همکاران [8] در تحقیقی شامل پبل‌های سری و توربین‌گاز است. نتایج آن‌ها بیانگر افزایش سیستم ترکیبی توربین‌گاز، بازیاب و پبل سوختی اکسید جامد دما بالا و دما میانی بود؛ مورد بررسی قرار دادند. نتایج این بررسی نشان داد که بازده سیکل پبل سوختی اکسید جامد با دو توده دما میانی بیشتر از سیکل با دو توده دما میانی و دما بالا و نیز حالت یک توده‌ای است. برایان تاروجا و همکاران [9] یک سیستم ترکیبی توربین‌گاز و پبل سوختی اکسید جامد را مورد مطالعه قرار دادند و روش‌های مختلف پیش‌گرم کردن هوا و رودی به کاتد را بررسی نموده و با سیستم تک مبدل مورد مقایسه قرار دادند. نتایج تحلیل‌ها حاکی از این بود که سیستم دارای یک مبدل حرارتی عملکرد بهتری داشته و ویژگی‌های مانند نسبت فشار میانگین (4 الی 5)، مصرف اکسیژن کم و مصرف سوخت بالا دارد. چندی [10] یک واحد پبل سوختی اکسید جامد را برای ترکیب با یک توربین‌گاز ده مگاواتی پیشنهاد داد. در این بررسی یک مدل تromo-اقتصادی تعریف شده و برای بهینه‌سازی توان تولیدی سیستم ترکیبی مورد استفاده قرار گرفت. در مدل ارائه شده چهار مبدل به منظور بازیافت گرما از خروجی توربین و پبل سوختی بکار رفته شد. در این مطالعه بازده سیستم ترکیبی شامل مبدل‌ها 66.2 درصد و توان خروجی آن نزدیک به 4 برابر سیستم ترکیبی اولیه به دست آمد. همچنین بر اساس مدل ارائه شده دوره بازگشت سرمایه در این تحقیق کمتر از 4 سال پیش‌بینی شد. فاکینتی و همکاران [11] طراحی و بهینه‌سازی یک سیکل ترکیبی پبل سوختی اکسید جامد و توربین‌گاز با پیکربندی جدید را مورد بررسی قرار دادند. سیکل ترکیبی ارائه شده شامل یک واحد پبل سوختی اکسید جامد صفحه‌ای 5 کیلوواتی و یک واحد میکروتوربین‌گاز مشکل از دو توربین و یک کمپرسور شعاعی بود که عملکرد ترمودینامیکی آن مورد تحلیل قرار گرفت. نتایج این تحقیق نشان داد که سیستم ترکیبی جدید قادر است در دمای ورود به

**Fig. 1** Schematic of SOFC/MGT hybrid system

شکل ۱ شماتیک سیستم ترکیبی پیل سوختی اکسید جامد و میکروتوربین گاز

**Fig. 2** Schematic of SOFC/MGT hybrid system with two series fuel cells

شکل ۲ شماتیک سیستم هیبریدی با دو پیل سوختی سری

- از نشتی گاز داخل سیستم به بیرون صرف نظر شده است.
- هوای ورودی از 79 درصد نیتروژن و 21 درصد اکسیژن تشکیل شده است.
- شرایط محیطی (دما و فشار) با شرایط ورود به کمپرسور یکسان فرض شده است.
- از تغییرات انرژی‌های پتانسیل و جنبشی صرف نظر شده است.
- سوخت مصرفی هیدروژن فرض شده است.
- رفتار تمام گازها ایده‌آل فرض شده است.
- فشار و دمای گازهای خروجی از آند و کاتد یکسان و برایر فشار و دمای کاری پیل فرض شده است.
- ولتاژ در سلول‌های پیل سوختی ثابت فرض شده است.
- فرایند تمامی سلول‌ها در توده پیل سوختی مشابه فرض شده است.

4- معادلات حاکم

4-1- معادلات پیل سوختی

معادلات پیل سوختی در سه بخش که شامل روابط الکتروشیمیایی، حرارتی و

پیکربندی این سیستم در مقایسه با حالت پایه دارای دو پیل سوختی و دو پیل سوختی می‌باشد که به صورت موازی با هم قرار دارند. جریان خروجی از بازیاب هوا توسط تقسیم‌کننده به دو جریان مساوی تبدیل شده و وارد بخش کاتد پیل‌های سوختی می‌شود. جریان خروجی از بازیاب سوخت نیز به طور مشابه تقسیم و وارد آند پیل‌های سوختی می‌شود. پس از انجام واکنش الکتروشیمیایی در پیل‌های سوختی، هوا و سوخت باقی‌مانده به صورت مجزا وارد محفوظه‌های احتراق شده و پس از احتراق جریان‌های خروجی با یکدیگر مخلوط و وارد توربین گاز می‌شوند. شماتیک سیستم ترکیبی اشاره شده در شکل ۳ نشان داده است. همچنین پارامترهای ثابت استفاده شده برای سیستم‌های ترکیبی پیشنهادی در جدول ۱ ارائه شده است که در آن n_1 و n_2 به ترتیب تعداد سلول‌های سوختی اول و دوم می‌باشند.

3- فرضیات

در این قسمت فرضیات حاکم بر تحلیل سیستم‌های پیشنهادی آورده شده است. این فرضیات عبارتند از:

- کلیه اجزاء سیکل ترکیبی آدیباتیک فرض شده‌اند.
- جریان سیال در کلیه اجزاء سیکل پایا در نظر گرفته شده است.

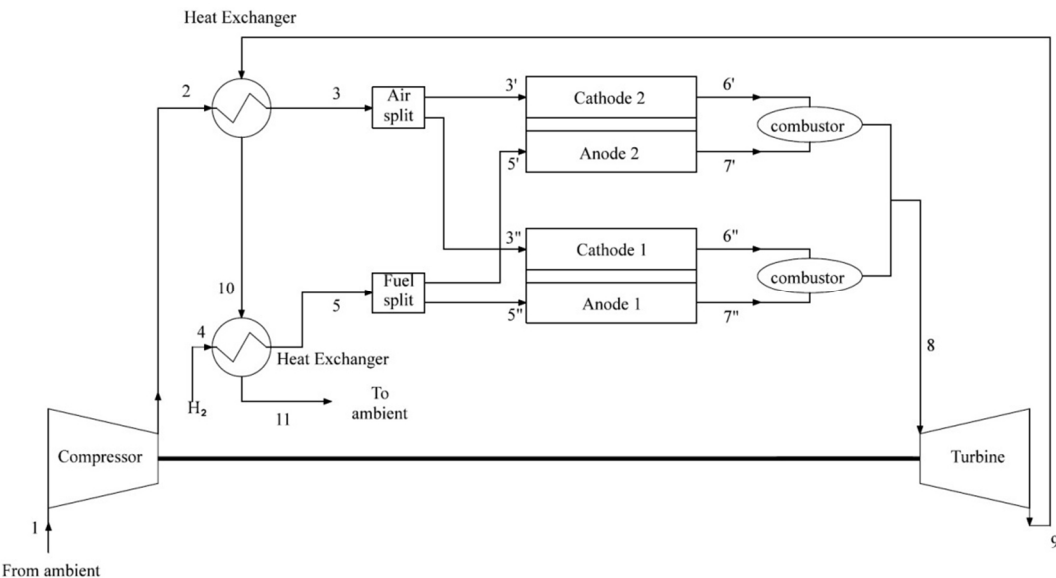


Fig. 3 Schematic of SOFC/MGT hybrid system with two parallel fuel cells

شکل ۳ شماتیک سیستم هیبریدی با دو پیل سوختی موازی

جدول ۱ پارامترهای اصلی به کار رفته در سیستم‌های ترکیبی پیل سوختی اکسید جامد و میکروتوربین گاز

Table 1 Main operating parameters of SOFC-MGT systems

پارامتر	مقدار	پارامتر	مقدار	پارامتر	مقدار
دما محیط	298 K	مساحت هر سلو (m ²)	0.10362	فشار محیط	1 bar
بازده کمپرسور	81 %	طول هر سلو (m)	1.5	بازده توربین	84 %
بازده پس سوز	95 %	قطر هر سلو (m)	0.022	تعداد سلو در سیستم	n = 5136
بازده رکوپراتور	80 %	ترکیبی اول	n ₁ = 1712 n ₂ = 3424	ترکیبی دوم	n ₁ = 2568 n ₂ = 2568
بازده معکوس کننده	89 %	تعداد سلو در سیستم	n ₁ = 3424 n ₂ = 1712	افت فشار پیل سوختی	n ₁ = 1712 n ₂ = 3424
افت فشار پس سوز	5 %	ترکیبی سوم	n ₁ = 2568 n ₂ = 2568	افت فشار رکوپراتور	n ₁ = 2568 n ₂ = 2568

ترمودینامیکی می‌باشد، ارائه شده است.

1-1-4- محاسبات الکتروشیمیایی

ولتاژ برگشت‌پذیر پیل سوختی توسط معادله نرنسن و به شکل رابطه (1) بیان می‌شود [12]:

$$E = E^\circ + \frac{R_u T}{n_e F} \ln \left(\frac{P_{\text{H}_2} P_{\text{O}_2}^{\frac{1}{2}}}{P_{\text{H}_2\text{O}}} \right) \quad (1)$$

برای محاسبه ولتاژ واقعی پیل، باید افت‌های مربوط به پیل (اضافه و لتاژ پیل) شامل افت و لتاژ ناحیه فعال سازی (V_{act})، افت و لتاژ ناحیه اهمیک (V_{ohm}) و افت و لتاژ ناحیه غلظت (V_{conc}) را محاسبه کرده و در نهایت از رابطه (2) مقدار ولتاژ واقعی (V_{cell}) آن را بدست آورد [13]:

$$V_{\text{ohm}} = V_{\text{ohm,an}} + V_{\text{ohm,ca}} + V_{\text{ohm,el}} + V_{\text{ohm,in}} \quad (7)$$

جدول ۲ پارامترهای ورودی افت و لتاژ فعال سازی [13]

Table 2 Activation polarization input parameters [13]

مقادیر	پارامتر
110000	$E_{\text{act,an}}$ (kJ/kmol)
155000	$E_{\text{act,ca}}$ (kJ/kmol)
$10^9 \times 7$	γ_{an} (A/m ²)
$10^9 \times 7$	γ_{ca} (A/m ²)

2-4- کمپرسور

با توجه به وابسته بودن راندمان آیزنتروپیک به نسبت فشار و در نظر گرفتن نسبت فشار متغیر در این مدل سازی، به جای راندمان آیزنتروپیک از راندمان پلی‌تروپیک (η_{ac}) استفاده شده (رابطه (30)) و دمای هوای خروجی طبق رابطه (31) به دست می‌آید.

$$\eta_{is,ac} = \frac{(r_{p,ac})^{\frac{k_a-1}{k_a}}}{(r_{p,ac})^{\frac{k_a-1}{k_a\eta_{p,ac}}}} \quad (30)$$

$$\frac{T_2}{T_1} = (r_{p,ac})^{\frac{k_a-1}{k_a\eta_{p,ac}}} \quad (31)$$

با استفاده از دمای هوای خروجی محاسبه شده و مشخص بودن دما و دبی

جرمی هوای ورودی کار مصرفی کمپرسور طبق رابطه (32) محاسبه می‌شود:

$$\dot{W}_{ac} = \dot{n}_a(\bar{h}_2 - \bar{h}_1) \quad (32)$$

3- پس‌سوز

قانون اول ترمودینامیک برای پس‌سوز طبق رابطه (33) نوشته شده و دمای گازهای خروجی از آن به دست می‌آید:

$$\dot{n}_6\bar{h}_6 + \dot{n}_7\bar{h}_7 - \dot{n}_8\bar{h}_8 - \dot{Q}_{loss,cc} = 0 \quad (33)$$

در رابطه‌ی فوق $\dot{Q}_{loss,cc}$ تلفات حرارتی پس‌سوز می‌باشد که با داشتن راندمان پس‌سوز (η_{cc}) و ضریب مصرف سوخت با استفاده از رابطه (34) به دست می‌آید [18].

$$\dot{Q}_{loss,cc} = \dot{n}_f \times (1 - \eta_{cc}) \times (1 - U_f) \times LHV \quad (34)$$

4- توربین گاز

راندمان پلی‌تروپیک توربین، دمای گازهای خروجی توربین و توان تولیدی در توربین طبق روابط (35) تا (37) محاسبه می‌شود [18].

$$\eta_{is,gt} = \frac{1 - \left(\frac{1}{r_{p,gt}}\right)^{\frac{\eta_{p,gt}(k_g-1)}{k_g}}}{1 - \left(\frac{1}{r_{p,gt}}\right)^{\frac{k_g-1}{k_g}}} \quad (35)$$

$$\frac{T_8}{T_9} = (r_{p,gt})^{\frac{\eta_{p,gt}(k_g-1)}{k_g}} \quad (36)$$

$$\dot{W}_{AC,gt} = \dot{n}_9(\bar{h}_8 - \bar{h}_9) \times \eta_{inv} \quad (37)$$

5- بازیاب حرارتی

بازده بازیاب‌های هوای سوخت بکار رفته در سیکل به صورت روابط (38) و (39) بیان می‌شوند [18]:

$$\varepsilon_1 = \frac{T_3 - T_2}{T_9 - T_2} \quad (38)$$

$$\varepsilon_2 = \frac{T_5 - T_4}{T_{10} - T_4} \quad (39)$$

با بکار بردن معادله تعادل انرژی، می‌توان دمای خروجی از بازیاب‌های گرمایی را به دست آورد.

$$\dot{n}_2(h_3 - h_2) = \dot{n}_9(h_9 - h_{10}) \quad (40)$$

$$\dot{n}_4(h_5 - h_4) = \dot{n}_{10}(h_{10} - h_{11}) \quad (41)$$

6- سیستم ترکیبی

با در نظر گرفتن یک حجم کنترل برای کل سیستم، بازده‌های الکتریکی و

$$V_{ohm} = ir \quad (8)$$

$$r = \delta\rho \quad (9)$$

$$\rho = A \exp\left(\frac{B}{T}\right) \quad (10)$$

پارامترهای A ، B و δ مقادیر ثابتی بوده که بسته به نوع و هندسه پیله به دست می‌آیند [15]. مقادیر این پارامترها در پس از محاسبه ولتاژهای پیله سوختی و به دست آوردن مقدار جریان هر سلول توان کلی پیله از روابط (17) تا (20) به دست می‌آید [16]:

$$I_{cell} = iA_{cell} \quad (17)$$

$$I_{tot} = 2FZ \quad (18)$$

$$\dot{W}_{DC,SOFC} = V_{cell} I_{tot} \quad (19)$$

$$\dot{W}_{AC,SOFC} = \dot{W}_{DC,SOFC} \times \eta_{inv,SOFC} \quad (20)$$

2-1-4- محاسبات حرارتی و ترمودینامیکی

فرایند واکنش‌های شیمیایی شکل گرفته در داخل پیله سوختی یک فرایند گرماده می‌باشد. با نوشتن معادله ترمودینامیکی بین واکنش‌گرهای و فرآوردهای میزان انتقال حرارت در فرایند به دست می‌آید. گرمای حاصل از واکنش شیمیایی انجام شده در پیله سوختی طبق رابطه (21) محاسبه می‌شود [12]:

$$\dot{Q}_{elec} = zT\Delta S - I\Delta V_{loss} \quad (21)$$

گرمای خالص باقیمانده از واکنش انجام شده در پیله سوختی طبق رابطه (22) حاصل می‌شود:

$$\dot{Q}_{net} = \dot{Q}_{elec} \quad (22)$$

مقداری از این گرمای خالص باقیمانده صرف افزایش دمای گازهای داخل و خروجی پیله شده (\dot{Q}') و بخش دیگری نیز به محیط (\dot{Q}_{surr}) وارد می‌شود.

$$\dot{Q}_{net} = \dot{Q}' + \dot{Q}_{surr} \quad (23)$$

$$\dot{Q}_{net} = (\dot{n}_{in}h_{in} - \dot{n}_{out}h_{out})_{an} + (\dot{n}_{in}h_{in} - \dot{n}_{out}h_{out})_{ca} + \dot{Q}_{surr} \quad (24)$$

در حالت واقعی فرایندهای انجام شده در پیله سوختی همواری مقداری تلفات حرارتی به محیط دارند. با در نظر گرفتن این مسئله به صورت ایده‌آل فرض می‌شود که پیله سوختی آدیاباتیک داخلی بوده و گرمای خالص باقیمانده صرف افزایش دمای گازهای داخل و خروجی از پیله خواهد شد (\dot{Q}'').

$$\dot{Q}'' = \Delta h_{c,in} + \Delta h_{c,out} + \Delta h_{a,in} + \Delta h_{a,out} \quad (25)$$

برای محاسبه دمای گازهای خروجی از پیله سوختی از یک الگوریتم تکرار استفاده شده و معیار همگرایی نیز به صورت رابطه (26) در نظر گرفته شده است [17].

$$\eta_{error} = \left| \frac{\dot{Q}'' - \dot{Q}'}{\dot{Q}'} \right| < 0.01 \quad (26)$$

پس از محاسبه دمای خروجی، می‌توان با استفاده از رابطه انرژی نرخ تلفات حرارتی در پیله سوختی را محاسبه کرد.

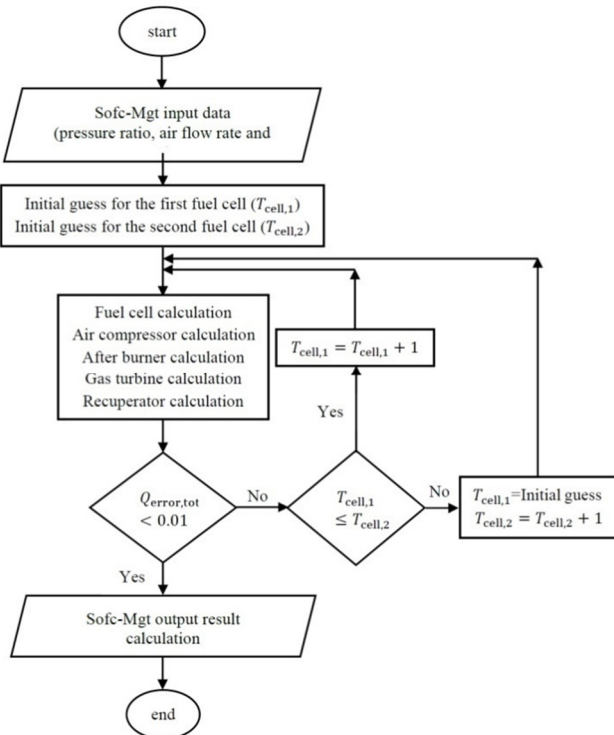
$$(\dot{n}_3\bar{h}_3 + \dot{n}_5\bar{h}_5) = \dot{Q}_{loss,SOFC} + \dot{W}_{SOFC} + (\dot{n}_6\bar{h}_6 + \dot{n}_7\bar{h}_7) \quad (27)$$

با داشتن ضریب مصرف سوخت (U_f), توان تولیدی پیله سوختی ($\dot{W}_{AC,SOFC}$) و گرمای خالص باقیمانده از واکنش پیله سوختی (\dot{Q}_{surr}) پیله سوختی و حرارتی پیله سوختی طبق روابط (28) و (29) به دست می‌آیند:

$$\eta_{elec,SOFC} = \frac{\dot{W}_{AC,SOFC}}{\dot{n}_f \times LHV \times U_f} \quad (28)$$

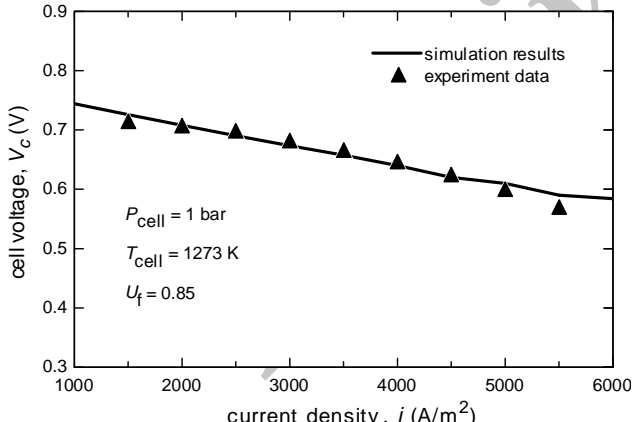
$$\eta_{th,SOFC} = \frac{\dot{Q}_{surr,SOFC}}{\dot{n}_f \times LHV \times U_f} \quad (29)$$

هورلوک [20] و نتایج حاصل از کد حاضر نیز در جدول 3 مقایسه شده است. همچنانی نزدیک بین این نتایج صحت روش حاضر و کد تهیه شده برای سیکل توربین گاز را تأیید می‌کند.



شکل 4 الگوریتم مدل‌سازی سیستم هیبریدی پیل سوختی و میکروتوربین گاز

شکل 5 مقایسه نتایج آزمایشگاهی و نتایج این تحقیق برای ولتاژ سل



شکل 5 مقایسه نتایج آزمایشگاهی و نتایج این تحقیق برای ولتاژ سل

جدول 3 مقایسه نتایج کد حاضر با نتایج هورلوک

Table 3 Comparison of Horlock and present model results

	کد حاضر	نتایج هورلوک [20]	درصد خطا
راندمان (%)	34.5	35.8	
توان مصرفی کمپرسور (kW)	350	358	
توان تولیدی توربین (kW)	650	672	
توان خالص تولیدی (kW)	300	312	

توان خالص تولیدی سیکل ترکیبی حالت پایه به صورت روابط (42) تا (44) تعریف می‌شوند:

$$\eta_{elec,sys} = \frac{\dot{W}_{net}}{\dot{n}_f \times LHV} \quad (42)$$

$$\eta_{th,sys} = \frac{\dot{Q}_{loss,SOFC}}{\dot{n}_f \times LHV} \quad (43)$$

$$\dot{W}_{net} = \dot{W}_{AC,gt} - \dot{W}_{ac} + \dot{W}_{AC,SOFC} \quad (44)$$

در سیکل ترکیبی با چیدمان دو پیل سری، بازده الکتریکی و حرارتی پیلهای سوختی طبق روابط (45) تا (48) محاسبه شده است.

$$\eta_{elec,SOFC1} = \frac{\dot{W}_{AC,SOFC1}}{\dot{n}_f \times LHV \times U_{f1}} \quad (45)$$

$$\eta_{elec,SOFC2} = \frac{\dot{W}_{AC,SOFC2}}{\dot{n}_f \times LHV \times (1 - U_{f1}) \times U_{f2}} \quad (46)$$

$$\eta_{th,SOFC1} = \frac{\dot{Q}_{loss,SOFC1}}{\dot{n}_f \times LHV \times U_{f1}} \quad (47)$$

$$\eta_{th,SOFC2} = \frac{\dot{Q}_{loss,SOFC2}}{\dot{n}_f \times LHV \times (1 - U_{f1}) \times U_{f2}} \quad (48)$$

در سیکل ترکیبی با چیدمان دو پیل موازی، بازده الکتریکی و حرارتی پیلهای سوختی اول مشابه حالت سری و برای پیلهای سوختی دوم طبق روابط (49) و (50) محاسبه شده است.

$$\eta_{elec,SOFC2} = \frac{\dot{W}_{AC,SOFC2}}{\dot{n}_{f,2} \times LHV \times U_{f2}} \quad (49)$$

$$\eta_{th,SOFC2} = \frac{\dot{Q}_{loss,SOFC2}}{\dot{n}_{f,2} \times LHV \times U_{f2}} \quad (50)$$

5- روش حل

به منظور تحلیل سیستم‌های پیشنهادی و دستیابی به ضرایب مصرف سوخت پهنهای در سیستم‌های ترکیبی طراحی شده، مدل‌سازی معادلات حاکم بر اجزا و سیستم ترکیبی در نرم افزار EES انجام شده است. در بخش اول این برنامه، اطلاعات ورودی سیستم ترکیبی مانند نسبت فشار کاری کمپرسور، دبی هوای ورودی به سیکل، دمای گازهای ورود به توربین وارد می‌گرددند. سپس محاسبات سیستم ترکیبی برای کمپرسور، توربین، پس‌سوز و نیز سایر اجزای سیستم ترکیبی با یک حدس اولیه برای پیلهای سوختی و تا برقراری شرط همگرایی تکرار می‌شود. الگوریتم حل برنامه نوشته شده برای سیستم ترکیبی ارایه شده در شکل 4 نشان داده شده است.

6- اعتبارسنجی

اعتبارسنجی مدل ایجاد شده در دو بخش بررسی عملکرد الکتروشیمیایی پیلهای سوختی اکسید جامد و سیستم توربین گاز انجام شده است. به همین منظور، نتایج حاصل از مدل‌سازی پیلهای سوختی در این تحقیق با استفاده از نتایج آزمایشگاهی صورت گرفته توسط سینگال [19] و نتایج حاصل از مدل‌سازی سیکل توربین گاز با نتایج تحقیقات هورلوک [20] مقایسه شده است. نتایج آزمایشگاهی سینگال بر مبنای سوختی متشكل از 89 درصد هیدروژن و 11 درصد آب در فشار کاری 1 بار و دمای کاری 1273 کلوین به دست آمده بود. در برنامه تهیه شده با اعمال شرایط کاری مشابه، ولتاژ پیلهای چگالی جریان‌های مختلف به دست آمده است. همان‌طور که در شکل 5 مشاهده می‌شود، نمودارها دارای انتباخ خوبی با یکدیگر می‌باشند و بیشترین خطای نسبی میان نتایج کمتر از 3.5 درصد می‌باشد. اختلاف موجود در برخی نقاط به علت تفاوت درصد سوخت مصرفی در کار حاضر و آزمایش ناجم شده توسط سینگال می‌باشد. سیستم توربین گاز معرفی شده توسط

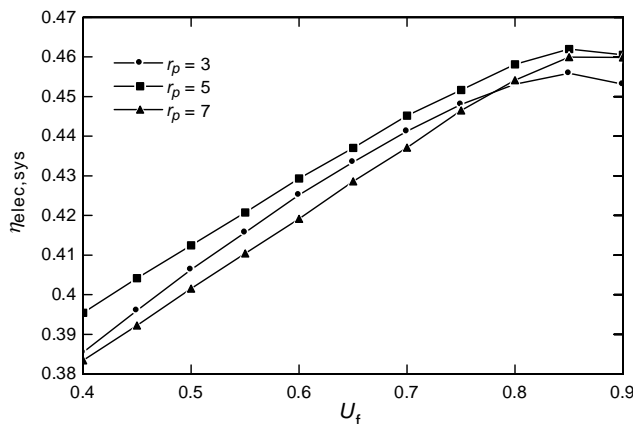


Fig. 7 Variations of system electrical efficiency with fuel utilization factor

شکل 7 تغییرات بازده الکتریکی سیستم بر حسب ضریب مصرف سوخت

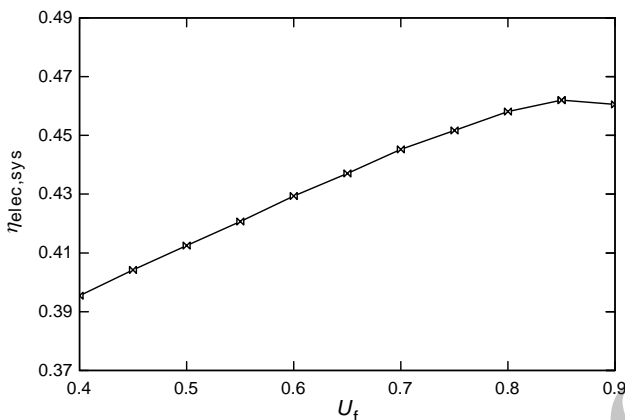


Fig. 8 Variations of system electrical efficiency with fuel utilization factor

شکل 8 تغییرات بازده الکتریکی سیستم بر حسب ضریب مصرف سوخت

5136 سلول، نسبت فشار 5 و دمای ورود به توربین 1273 کلوین، ضریب مصرف سوخت مقدار بهینه 0.85 را به خود اختصاص می‌دهد.

7-1-نتایج سیکل ترکیبی با یک پیل سوختی

در این بخش، ابتدا با در نظر گرفتن تعداد سلول هر کدام از پیلهای سوختی برابر با نصف سلول‌های پیل سوختی حالت پایه، در یک نسبت فشار ثابت 3 و دمای ورود به توربین 1273 کلوین، نموادار بازده الکتریکی سیستم بر حسب تغییرات ضرایب مصرفی سوخت در پیلهای مورد بررسی قرار گرفته است. همان‌طور که در شکل 9 مشاهده می‌شود با افزایش ضریب مصرف سوخت پیل دوم تا مقدار 0.8 بازده سیکل افزایش و با بالاتر رفتن این ضریب بدليل افزایش افت ولتاژ در پیل بازده رو به کاهش می‌گذارد. با توجه به اینکه این مقدار در ضریب‌های مصرف سوخت اول بدون تغییر باقی می‌ماند می‌توان آن را به عنوان ضریب مصرف سوخت بهینه برای پیل سوختی دوم در نظر گرفت. همچنین با توجه به شکل به ازای سه مقدار ضریب مصرف سوخت اول برابر با 0.6، 0.5 و 0.4 بازده دارای مقادیر بیشتری می‌باشد. بنابراین با در نظر گرفتن این مقادیر به عنوان گزینه‌های حالت بهینه، مقایسه‌ای میان این ضرایب در چند نسبت فشار متفاوت انجام شده است.

در ادامه هدف محاسبه مقدار ضریب مصرف سوخت بهینه پیل سوختی اول در نسبت فشارهای مختلف است. همان‌طور که در شکل 10 نشان داده شده است این مقدار بهینه در نسبت فشارهای مختلف متفاوت می‌باشد. برای

7- نتایج

از پارامترهای عملکردی مهم سیستم ترکیبی که تأثیر بسزایی در تطبیق پیل سوختی اکسید جامد و توربین گاز دارد می‌توان به ضریب مصرف سوخت، دمای گازهای ورود به توربین، نسبت فشار کاری کمپرسور و تعداد سلول پیل سوختی اشاره کرد. در این مطالعه به منظور دست‌یابی به مقادیر بهینه برای فاکتور مصرف سوخت و افزایش راندمان کلی سیستم، سایر پارامترها نیز به گونه‌ای انتخاب شده‌اند که در یک حالت بهینه قرار داشته باشند.

7-1-نتایج سیکل ترکیبی با یک پیل سوختی

در شکل 6 نمودار تغییرات بازده الکتریکی بر حسب ضریب مصرف سوخت در یک نسبت فشار معین (عدد 5) و در دماهای ورود به توربین مختلف نشان داده شده است. این نمودار به منظور بررسی عملکرد سیستم تحت تغییرات دمای ورود به توربین و دست‌یابی به یک مقدار بهینه برای این پارامتر مورد تحلیل قرار گرفته است. با افزایش دمای ورود به توربین، دمای گازهای خروجی توربین نیز افزایش می‌یابد. با توجه به پیش‌گرم شدن هوا و سوخت ورودی به پیل سوختی توسط حرارت گازهای خروجی توربین، دمای پیل سوختی و در نتیجه بازده الکتریکی سیستم ترکیبی افزایش می‌یابد (شکل 6). بنابراین همان‌طور که مشاهده می‌شود در دمای ورود به توربین 1273 کلوین، بیشترین بازده الکتریکی با مقدار 46 درصد به دست می‌آید.

در شکل 7 نمودار تغییرات بازده الکتریکی سیستم بر حسب ضریب مصرف سوخت در دمای ورود به توربین 1273 کلوین و در نسبت فشارهای مختلف رسم شده است. همان‌طور که مشاهده می‌شود با افزایش نسبت فشار کمپرسور تا عدد 5، بازده الکتریکی سیستم ترکیبی افزایش می‌یابد و پس از آن با افزایش بیشتر نسبت فشار، بدليل زیاد شدن کار کمپرسور و در نتیجه کاهش توان خالص تولیدی، بازده الکتریکی رو به کاهش می‌گذارد.

حال نمودار تغییرات بازده الکتریکی بر حسب ضریب مصرف سوخت در دمای ورود به توربین 1273 کلوین و نسبت فشار بهینه 5 در شکل 8 نشان داده شده است. افزایش ضریب مصرف سوخت در پیل موجب تبدیل انرژی شیمیایی بیشتری به انرژی الکتریکی می‌شود. از طرفی این افزایش انرژی شیمیایی موجب بیشتر شدن اضافه ولتاژ پیل نیز می‌شود. در نتیجه افزایش ضریب مصرف سوخت تا یک حد بهینه افزایش راندمان الکتریکی در پیل را به همراه دارد و با افزایش بیشتر این ضریب راندمان الکتریکی پیل کاهش می‌یابد. همان‌طور که مشاهده می‌شود در اولین پیکربندی پیشنهادی با تعداد

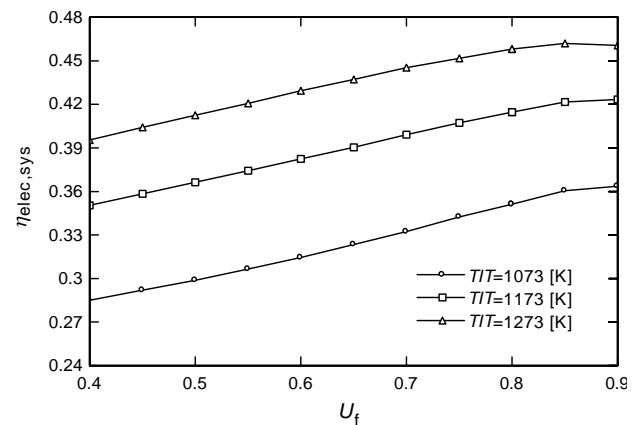


Fig. 6 Variations of system electrical efficiency with fuel utilization factor

شکل 6 تغییرات بازده الکتریکی سیستم بر حسب ضریب مصرف سوخت

ضریب مصرف سوخت پیله اول بازده الکتریکی به طور قابل توجهی کم می‌شود. نتایج مربوط به مقادیر بهینه پارامترهای مورد بررسی در این حالت نیز در جدول ۴ آورده شده است.

7-3- نتایج سیکل ترکیبی با دو پیل سوختی موازی
در این حالت نیز مشابه قبل به منظور دست‌یابی به ضرایب مصرف سوخت

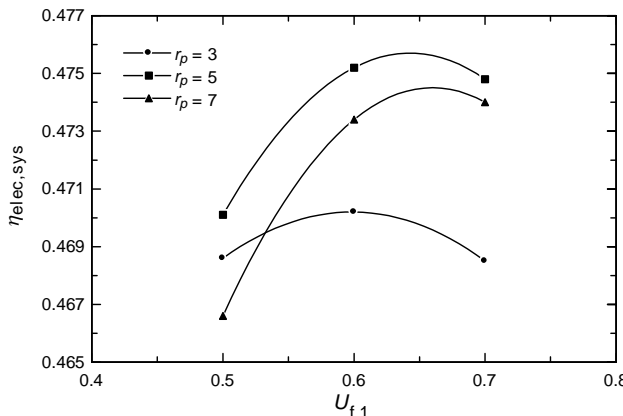


Fig. 10 Variations of system electrical efficiency with first fuel cell fuel utilization factor

شکل 10 تغییرات بازده الکتریکی سیستم بر حسب ضریب مصرف سوخت پیله اول

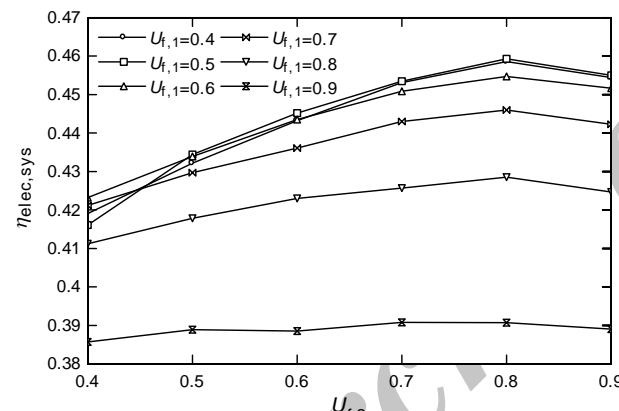


Fig. 11 Variations of system electrical efficiency with second fuel cell fuel utilization factor

شکل 11 تغییرات بازده الکتریکی سیستم بر حسب ضریب مصرف سوخت پیله دوم

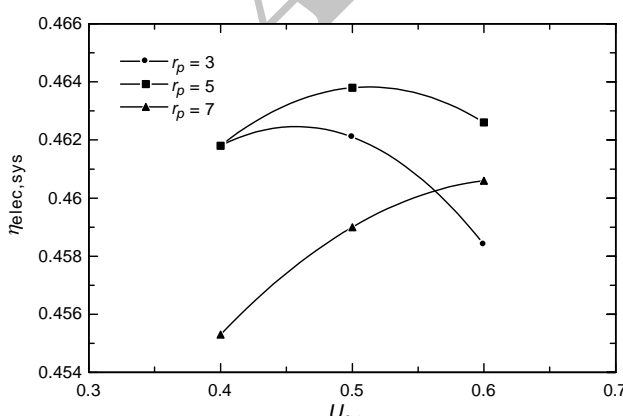
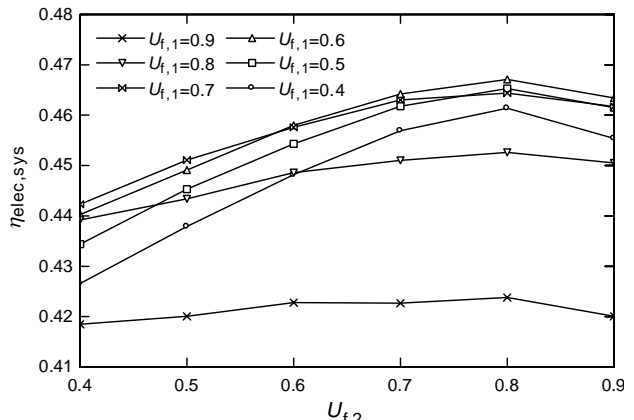


Fig. 12 Variations of system electrical efficiency with first fuel cell fuel utilization factor

شکل 12 تغییرات بازده الکتریکی سیستم بر حسب ضریب مصرف سوخت پیله اول



شکل 9 تغییرات بازده الکتریکی سیستم بر حسب ضریب مصرف سوخت پیله دوم

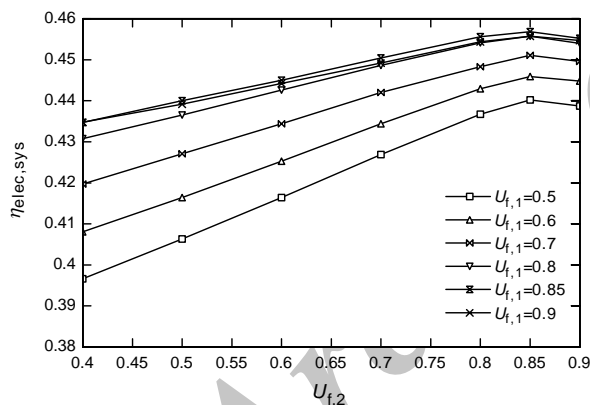
مثال در نسبت فشار ۵ و ضریب مصرف سوخت اول برابر با ۰.۶، سیستم ترکیبی بیشترین بازده الکتریکی را دارد. در نسبت فشار ۷ و ضریب مصرف سوخت اول برابر با ۰.۷، سیستم ترکیبی بازده قابل توجهی را ارایه می‌دهد. این در حالیست که در نسبت فشار ۳ و به ازای تمامی ضرایب مصرف سوخت بازده الکتریکی مقادیر بسیار کمی را در مقایسه با سایر نسبت فشارها نشان می‌دهد. مقادیر این پارامترها در جدول ۴ آرایه شده است. در این جدول به ازای سه نسبت فشار مختلف، ضرایب مصرف سوخت بهینه و بازده الکتریکی حاصل از آن آورده شده است. همان‌طور که مشاهده می‌شود، در حالتی که تعداد سلول‌های سوختی با یکدیگر برابر می‌باشند، در نسبت فشار ۵، ضریب مصرف سوخت دوم برابر با ۰.۸ و ضریب مصرف سوخت اول برابر با ۰.۶، سیستم ترکیبی بیشترین بازده الکتریکی را دارد. مقدار این بازده در حدود ۰.۴۷۵ می‌باشد.

در حالت دوم تعداد سلول‌های سوختی به ترتیب قرارگیری در سیکل ترکیبی یک سوم و دو سوم تعداد سلول‌های حالت پایه در نظر گرفته شده است. روند تغییرات بازده الکتریکی بر حسب ضرایب مصرفی سوخت در پیله‌های اول و دوم در شکل ۱۱ نشان داده شده است. همان‌طور که مشاهده می‌شود ضریب مصرف سوخت پیله دوم مشابه حالت پیله در نسبت فشار ۰.۸ بهینه می‌باشد. همچنانی به ازای مقادیر ۰.۵، ۰.۴ و ۰.۶ برای ضریب مصرف سوخت پیله اول که بیشترین بازده را به خود اختصاص داده؛ نمودار بازده الکتریکی در نسبت فشارهای مختلف مختلف مورد بررسی قرار گرفته است (شکل ۱۲). همان‌طور که مشاهده می‌شود در نسبت فشار ۵ و در ضریب مصرف سوخت پیله اول که برابر با ۰.۵ در نظر گرفته شده، سیستم ترکیبی بیشترین بازده را به خود اختصاص داده است. مقادیر بهینه حاصل برای این پارامترها در سایر نسبت فشارها نیز در جدول ۴ آرایه شده است. در حالت سوم تعداد سلول‌های سوختی به ترتیب قرارگیری در سیکل ترکیبی دو سوم و یک سوم پیله سوختی حالت پایه در نظر گرفته شده است. با توجه به شکل ۱۳ بازده الکتریکی در ضریب مصرف سوخت پیله دوم برابر با ۰.۸ بیشترین مقدار را در ضریب‌های مصرف سوخت پیله اول به خود اختصاص داده است. سپس به منظور دست‌یابی به ضریب مصرف سوخت بهینه در پیله اول از میان سه مقدار ۰.۷، ۰.۶ و ۰.۸ نمودار بازده الکتریکی بر حسب ضریب مصرف سوخت پیله اول در نسبت فشارهای مختلف در شکل ۱۴ آرایه شده است. همان‌طور که مشاهده می‌شود بیشینه بازده الکتریکی در دو نسبت فشار ۵ و ۷ و در ضریب مصرف سوخت پیله اول برابر با ۰.۷ رخ می‌دهد. با کاهش یا افزایش

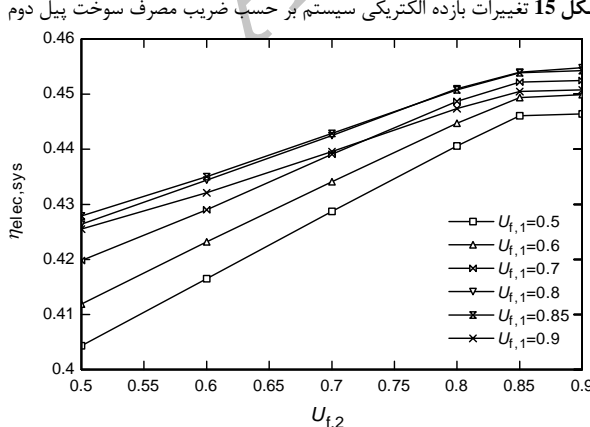
ترکیبی به بازده الکتریکی بیشینه 47.5 درصد دست می‌یابد (شکل 15). همچنین به دلیل مستقل بودن عملکرد پیلهای سوختی از یکدیگر در حالت موازی، مقدار بهینه این ضرایب در نسبت فشارهای مختلف یکسان می‌باشد و مطابق با جدول 5 در نسبت فشار 5 و ضرایب مصرف سوخت برابر با 0.85 بازده الکتریکی سیستم 46.3 درصد می‌باشد و سیستم نسبت به سایر نسبت فشارها عملکرد بهتری دارد. به همین ترتیب در حالتی که تعداد سلول‌ها به صورت یک سوم و دو سوم حالت پایه تقسیم‌بندی شده‌اند (شکل 16) بیشترین بازده به ازای مقادیر ضریب مصرف سوخت اول برابر با 0.8 و ضریب مصرف سوخت دوم برابر با 0.9 حاصل می‌شود که در نتیجه می‌توان این مقادیر را به عنوان ضرایب مصرف سوخت بهینه در نظر گرفت و به بازده الکتریکی 45.5 درصد دست یافت. همچنین همان‌طور که در جدول 5 مشاهده می‌شود بیشترین بازده این حالت یعنی 46 درصد در نسبت فشار 7 حاصل می‌شود.

8- نتیجه‌گیری

در تحقیق انجام شده سه پیکربندی مختلف از سیکل ترکیبی پیل سوختی اکسید جامد و میکروتوربین گاز، از تغییر تعداد پیلهای سوختی و محل قرارگیری آن در ساختمان سیکل حاصل شده است. تحلیل ترمودینامیکی سیستم‌های مورد نظر به منظور دست‌یابی به فاکتور مصرف سوخت بهینه در پیلهای سوختی انجام شد. نتایج حاصل از بررسی‌های انجام شده در این تحقیق به شرح زیر می‌باشد.



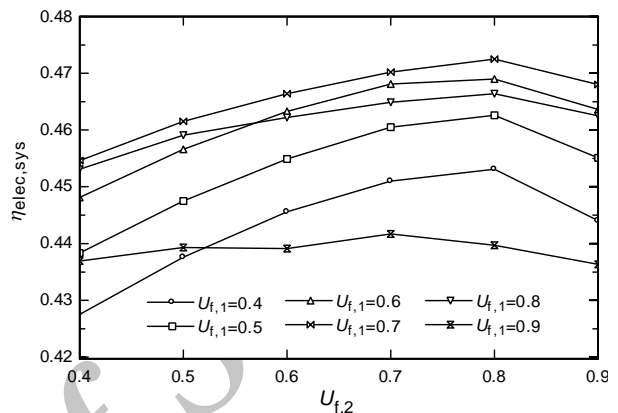
شکل 15 تغییرات بازده الکتریکی سیستم بر حسب ضریب مصرف سوخت پیل دوم



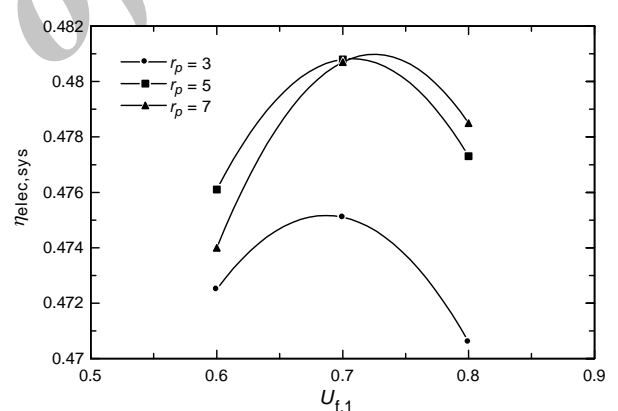
شکل 16 تغییرات بازده الکتریکی سیستم بر حسب ضریب مصرف سوخت پیل دوم

جدول 4 پارامترهای بهینه ضرایب مصرف سوخت در حالت سری

$\eta_{elec,sys}$	$U_{f,2}$	$U_{f,1}$	r_p	n
0.47	0.8	0.6	3	$n_1 = 2568$
0.475	0.8	0.6		
0.474	0.8	0.7	5	$n_2 = 2568$
0.462	0.8	0.5		
0.464	0.8	0.5	7	$n_1 = 1712$
0.461	0.8	0.6		
0.475	0.8	0.7	3	$n_1 = 3424$
0.481	0.8	0.7		
0.481	0.8	0.7	5	$n_2 = 1712$



شکل 13 تغییرات بازده الکتریکی سیستم بر حسب ضریب مصرف سوخت پیل دوم



شکل 14 تغییرات بازده الکتریکی سیستم بر حسب ضریب مصرف سوخت پیل اول

بهینه نمودارهای بازده الکتریکی بر حسب تغییرات ضرایب مصرف سوخت مورد بررسی قرار گرفته‌اند. چگونگی این تغییرات در دو ترکیب متفاوت از تعداد سلول‌ها در یک فشار معین و دمای ورود به توربین بهینه (به ترتیب 3 و 1273 کلوین) در شکل 15 و شکل 16 نشان داده شده است. آنگاه این روند در دو نسبت فشار 5 و 7 نیز مورد بررسی قرار گرفته و نتایج آن در جدول 5 ارایه شده است. مطابق با شکل 15 اگر روند تغییرات بازده الکتریکی در یکی از ضرایب مصرف سوخت پیل اول در نظر گرفته شود، مشاهده می‌شود که با افزایش ضریب مصرف سوخت پیل دوم تا مقدار بهینه 0.85 بازده الکتریکی سیستم ترکیبی افزایش و پس از آن با بیشتر شدن این ضریب بازده کاهش می‌یابد. در ادامه تغییرات ضریب مصرف سوخت پیل اول مورد بررسی قرار گرفته است. همان‌طور که مشاهده می‌شود روند تغییرات نمودارها در تمامی ضرایب یکسان و در ضریب مصرف سوخت پیل اول برابر با 0.85. سیستم

9- فهرست عالیم

	A	مساحت
ضریب پخش مؤثر گاز	D_{eff}	
ولتاژ برگشت‌پذیر پیل سوختی	E	
ولتاژ پیل سوختی در شرایط استاندارد	E°	
مقدار انرژی فعال‌سازی	E_{act}	
انتالپی	h	
چگالی جریان	i	
چگالی تبادلی جریان	i_{\circ}	
چگالی جریان حدی	i_L	
جریان الکتریکی	I	
نسبت گرمای ویژه	k	
ارزش حرارتی سوخت	LHV	
جرم	m	
نرخ جرم مولی، تعداد سلول‌های پیل سوختی	n	
تعداد مول‌های الکترون	n_e	
فشار	P	
انتقال گرما	Q	
مقاومت اهمی	r	
نسبت فشار	r_p	
ثابت عمومی گازها	R_u	
دما	T	
ضریب مصرف	U	
ولتاژ	V	
کار	W	
نرخ مولی پیشرفت واکنش پیل سوختی	Z	عالیم یونانی
ضریب پیش نمایی	γ	زیرنویس‌ها
ضریب کارابی	a	هو
راندمان	AC	جریان متناوب
چگالی	act	افت ولتاژ فعال‌سازی
ضخامت	ac	کمپرسور هو
	an	آند
افت ولتاژ غلظتی	conc	
کاتد	ca	
محفظه احتراق	cc	
سیکل	cyc	
جریان مستقیم	DC	
الکتروولت	el	
الکتریکی	elec	
سوخت	f	

جدول 5 پارامترهای بهینه ضرایب مصرف سوخت در حالت موازی

Table 5 Optimum parameters of fuel utilization factor in parallel mode

$\eta_{\text{elec,sys}}$	U_{f_2}	U_{f_1}	r_p	n
0.457	0.85	0.85	3	$n_1 = 2568$
0.463	0.85	0.85	5	
0.461	0.85	0.85	7	$n_2 = 2568$
0.455	0.9	0.8	3	
0.456	0.9	0.8	5	$n_1 = 1712$
0.46	0.9	0.8	7	

- در سیستم ترکیبی با یک پیل سوختی (حالت پایه) در نسبت فشار 5 و دمای ورود به توربین 1273 کلوین، ضریب مصرف سوخت بهینه 0.85 بدست آمد. در این حالت بیشترین بازده الکتریکی سیستم ترکیبی ساده در حدود 46 درصد محاسبه گردید.

- در سیستم ترکیبی با دو پیل سوختی سری و تعداد سلول یکسان (نصف تعداد حالت پایه) بیشترین بازده الکتریکی 47.5 درصد می‌باشد. در این حالت نسبت فشار سیستم 5، ضریب مصرف سوخت پیل اول برابر با 0.6 و ضریب مصرف سوخت پیل دوم برابر با 0.8 در نظر گرفته شده است.

- در سیستم ترکیبی با دو پیل سوختی سری و تعداد سلول به ترتیب یک سوم و دو سوم حالت پایه، بیشترین بازده الکتریکی سیستم در حدود 46.4 درصد می‌باشد. در این حالت نسبت فشار سیستم 5 و 7، ضریب مصرف سوخت پیل اول برابر با 0.5 و ضریب مصرف سوخت پیل دوم برابر با 0.8 در نظر گرفته شده است.

- در سیستم ترکیبی با دو پیل سوختی سری و تعداد سلول به ترتیب دو سوم و یک سوم حالت پایه، بیشترین بازده الکتریکی 48.1 درصد می‌باشد. در این حالت نسبت فشار سیستم 5 و 7، ضریب مصرف سوخت پیل اول برابر با 0.7 و ضریب مصرف سوخت پیل دوم برابر با 0.8 در نظر گرفته شده است.

- نتایج نشان می‌دهد که در سیستم‌های ترکیبی با دو پیل سوختی سری، با افزایش تعداد سلول‌های پیل سوختی اول، بازده الکتریکی سیستم افزایش می‌یابد. بهترین حالت عملکردی این سیستم ترکیبی زمانی است که تعداد سلول‌های پیل اول 3424 و تعداد سلول‌های پیل دوم 1712 باشد. در این حالت نسبت فشار بهینه سیستم 5، ضریب مصرف سوخت پهنه بهینه برای پیل اول 0.7 و برای پیل دوم 0.8 می‌باشد که تحت این شرایط سیستم دارای بازده الکتریکی 48 درصد خواهد بود.

- در سیستم ترکیبی با دو پیل سوختی موازی و تعداد سلول یک سوم و دو سوم حالت پایه، بیشترین بازده الکتریکی در حدود 46 درصد می‌باشد. در این حالت نسبت فشار سیستم 7، ضریب مصرف سوخت پیل اول برابر با 0.8 و ضریب مصرف سوخت دوم برابر با 0.9 می‌باشد.

- در سیستم ترکیبی با دو پیل سوختی موازی و تعداد سلول یکسان (نصف تعداد حالت پایه) بیشترین بازده الکتریکی 46.3 درصد می‌باشد. در این حالت نسبت فشار سیستم برابر 5، ضریب مصرف سوخت پیل اول و دوم نیز برابر با 0.85 می‌باشد.

- نتایج نشان می‌دهد در حالتی که دو پیل سوختی به صورت موازی در سیکل قرار می‌گیرند، در تعداد سلول برابر با 2568 برای هر دو پیل سوختی، مقدار بیشتری برای بازده حاصل می‌شود. در این حالت نسبت فشار بهینه سیستم 5 و ضریب مصرف سوخت پهنه برای پیل‌های سوختی اول و دوم 0.85 است. در این حالت سیستم ترکیبی به راندمان الکتریکی بیش از 46 درصد دست می‌یابد.

- [7] T. Araki, T. Ohba, S. Takezawa, K. Onda, Y. Sakaki, Cycle analysis of planar SOFC power generation with serial connection of low and high temperature SOFCs, *Journal of Power Sources*, Vol. 158, No. 1, pp. 52-59, 2006.
- [8] A. Musa, M. De Paepe, Performance of combined internally reformed intermediate/high temperature SOFC cycle compared to internally reformed two-staged intermediate temperature SOFC cycle, *International Journal of Hydrogen Energy*, Vol. 33 ,No. 17, pp. 4665-4672, 2008.
- [9] B. Tarroja, F. Mueller, J. Maclay, J. Brouwer, Parametric thermodynamic analysis of a solid oxide fuel cell gas turbine system design space, *Journal of Engineering for Gas Turbines and Power*, Vol. 132, No. 7, 072301-072311, 2010.
- [10] D. F. Cheddie, Integration of a solid oxide fuel cell into a 10 MW gas turbine power plant, *Energies*, Vol. 3, No. 4, pp. 754-769, 2010.
- [11] E. Facchinetto, D. Favrat, F. Marechal, Design and optimization of an innovative solid oxide fuel cell–gas turbine hybrid cycle for small scale distributed generation, *Fuel Cells*, Vol. 14, No. 4, pp. 595-606, 2014.
- [12] S. Chan, H. Ho, Y. Tian, Modelling of simple hybrid solid oxide fuel cell and gas turbine power plant, *Journal of Power Sources*, Vol.109 ,No. 1, pp. 111-120, 2002.
- [13] A. V. Akkaya, Electrochemical model for performance analysis of a tubular SOFC, *International Journal of Energy Research*, Vol. 31, No. 1, pp. 79-98, 2007.
- [14] P. G. Bavarsad, Energy and exergy analysis of internal reforming solid oxide fuel cell–gas turbine hybrid system, *International Journal of Hydrogen Energy*, Vol. 32, No. 17, pp. 4591-4599, 2007.
- [15] C. F. McDonald, Low-cost compact primary surface recuperator concept for microturbines, *Applied Thermal Engineering*, Vol. 20, No. 5, pp. 471-497, 2000.
- [16] J. Pirkandi, M. Ghassemi, M. H. Hamed, R. Mohammadi, Electrochemical and thermodynamic modeling of a CHP system using tubular solid oxide fuel cell (SOFC-CHP), *Journal of Cleaner Production*, Vol. 29-30, pp. 151-162, 2012.
- [17] J. Pirkandi, M. Mahmoodi, F. Amanloo, Thermodynamic modeling of an auxiliary power unit equipped with a tubular solid oxide fuel cell with application in aerospace power system, *Modares Mechanical Engineering*, Vol. 15, No. 6, pp. 132-144, 2015. (in Persian)
- [18] Y. Haseli, I. Dincer, G. Naterer, Thermodynamic modeling of a gas turbine cycle combined with a solid oxide fuel cell, *International Journal of Hydrogen Energy*, Vol. 33, No. 20, pp. 5811-5822, 2008.
- [19] S. Singhal, Advances in solid oxide fuel cell technology, Solid state ionics, Vol. 135, No. 1, pp. 305-313, 2000.
- [20] J. H. Horlock, *Advanced Gas Turbine Cycles: A Brief Review of Power Generation Thermodynamics*, pp. 1-11, United Kingdom: Elsevier, 2003.

پیل سوختی	FC
توربین گاز	gt
ژنراتور	gen
برودی	i, in
آیزنتروپیک	is
تلفات	loss
خالص	net
اف و لتاژ اهمیک	ohm
خروجی	out
بازیاب حرارتی	reg
پیل سوختی اکسید جامد	SOFC
محیط	surr
سیستم	sys
حرارتی	th
کل	tot

10- مراجع

- [1] A. Buonomano, F. Calise, M. D. d'Accadia, A. Palombo, M. Vicidomini, Hybrid solid oxide fuel cells-gas turbine systems for combined heat and power: A review, *Applied Energy*, Vol. 156, pp. 32-85, 2015.
- [2] D. Saebea, Y. Patcharavorachot, S. Assabumrungrat, A. Arpornwichanop, Analysis of a pressurized solid oxide fuel cell–gas turbine hybrid power system with cathode gas recirculation, *International Journal of Hydrogen Energy*, Vol. 38, No. 11, pp. 4748-4759, 2013.
- [3] K. Rajashekara, Hybrid fuel-cell strategies for clean power generation, *Industry Applications, IEEE Transactions on*, Vol. 41, No. 3, pp. 682-689, 2005.
- [4] D. Saebea, S. Authayanun, Y. Patcharavorachot, A. Arpornwichanop, Effect of anode–cathode exhaust gas recirculation on energy recuperation in a solid oxide fuel cell-gas turbine hybrid power system, *Energy*, Vol. 94, pp. 218-232, 2016.
- [5] Y. Zhao, N. Shah, N. Brandon, The Development and Application of a Novel Optimisation Strategy for Solid Oxide Fuel Cell-Gas Turbine Hybrid Cycles, *Fuel Cells*, Vol. 10, No. 1, pp. 181-193, 2010.
- [6] S. Motahar, AA. Alemrajabi, Exergy based performance analysis of a solid oxide fuel cell and steam injected gas turbine hybrid power system, *international journal of hydrogen energy*, Vol. 34, No. 5, pp. 2396-2407, 2009.